

Supplementary materials



Figure S1. Hybrid oaks (Location: CY-Cynegetic center)



Figure S2. *Quercus afrae* (Location: SH- Sidi El Hadi)

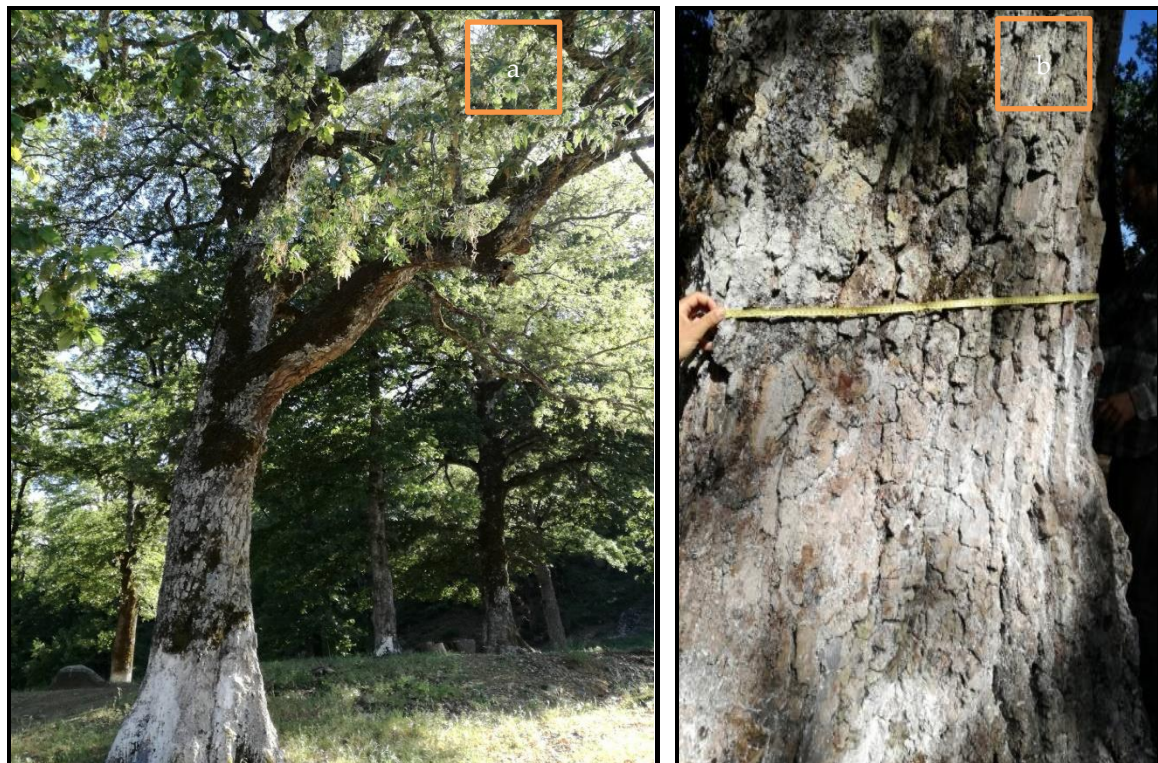


Figure S3. *Quercus afares*: a –tree, b-bark (Location: SH- Sidi El Hadi)



Figure S4. *Quercus suber* (Location: AD-Adrar)

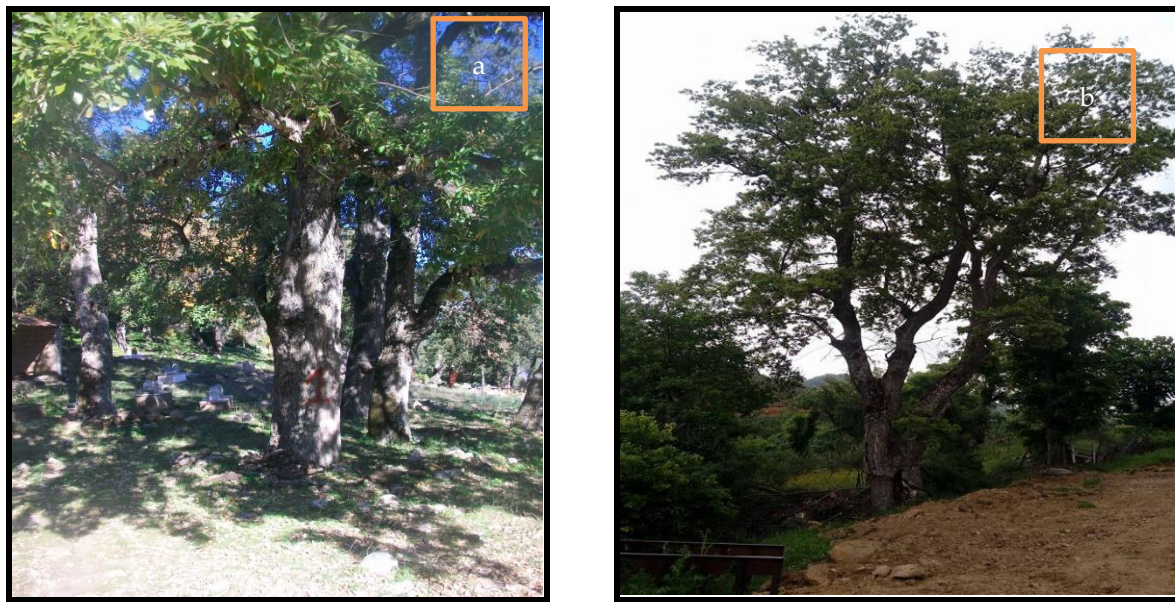


Figure S5. Hybrids (a-Location: YA-Yakouren, b- VM- Vide Mehaga)



Figure S6. Hybrids (Location: LN- Lac noir)

Q. canariensis Willd.

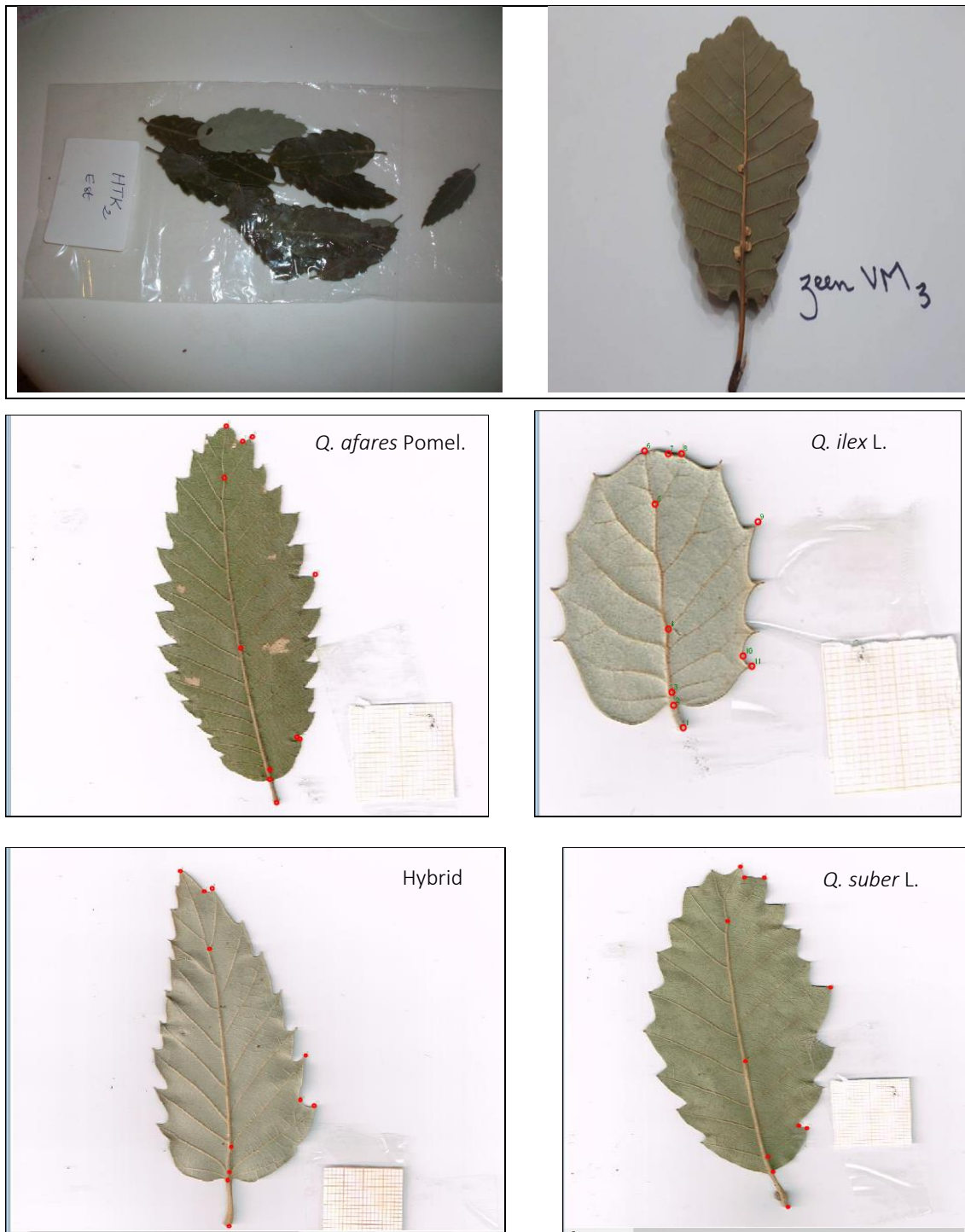


Figure S7. Leaves from the different species analysed.

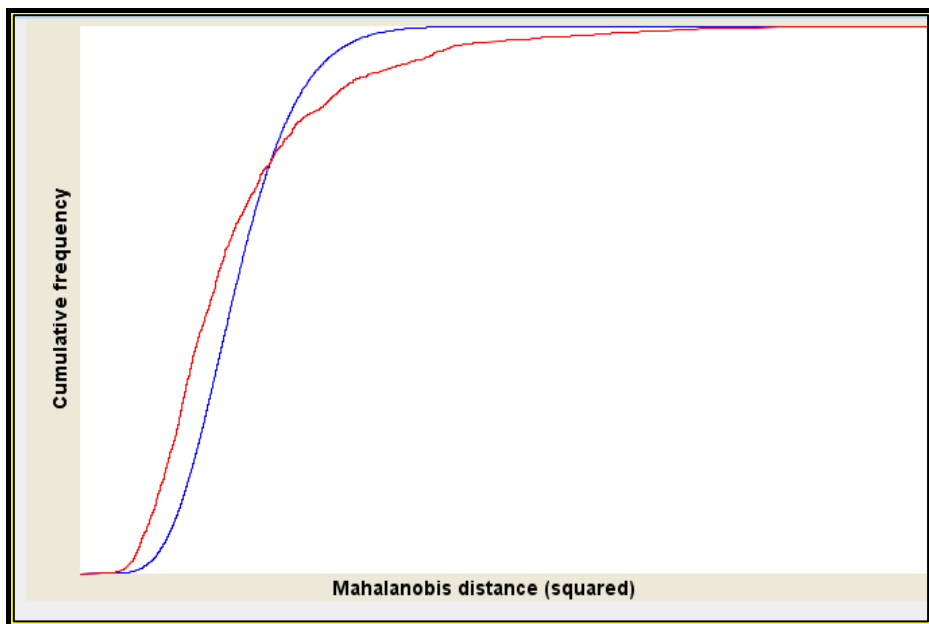


Figure S8: Cumulative distribution of distances of individual samples of the average distribution of the complete sample. In blue: the expected curve for a normal multivariate distribution adjusted to the data, In red : the distances distribution for all the data.

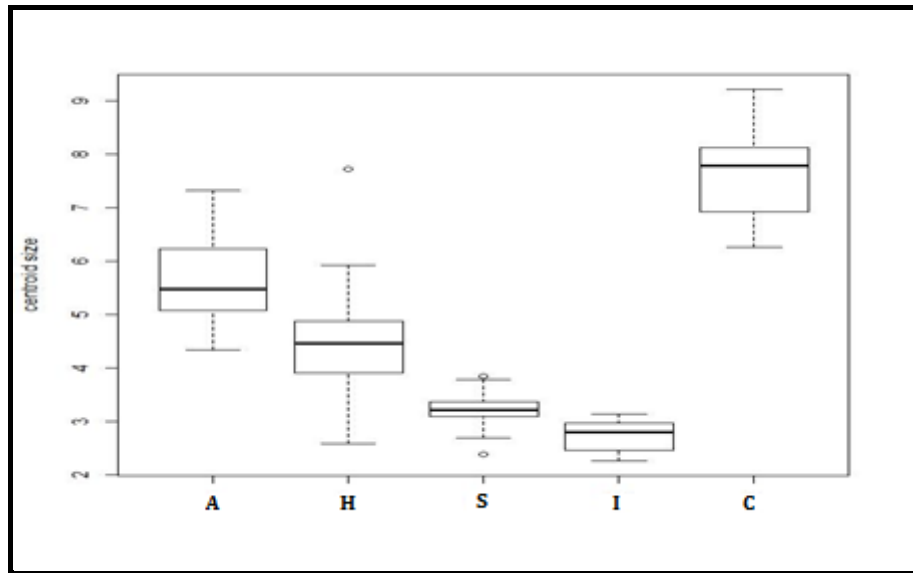


Figure S9. Size Centroid variation after average species within trees (box plot). [Q. *afra* (A), Q. *suber* (S), Q. *ilex* (I), Q. *canariensis* (C) and the hybrids (H)]

Annex 1. Genetic characterization

DNA was extracted and purified from dried leaves using Invisorb DNA Plant HTS 96 Kit/C. A total of five nuclear microsatellites were used following Moran *et al.* (2016), where primers were dyed labelled (FAM, PET, VIC, NED) and DNA was amplified following Ortego *et al.* (2014). Amplification products were sent to an ABI Genetic Analyzer (ABI, St. Louis, MO) and genotypes were scored using Genemarker (Holland and Parson, 2011).

Table S1. Allele frequency for the material analysed (5 individuals for each species).

Locus	Allele	QSU	QAF	QCA	QIL	QH1	QH2	QH3	QH4
MSQ13	190	0,000	0,000	0,125	0,000	0,000	0,000	0,000	0,000
	194	0,000	0,000	0,125	0,000	0,000	0,000	0,000	0,000
	199	0,000	0,000	0,000	0,400	0,000	0,000	0,000	0,000
	203	0,000	0,000	0,000	0,200	0,000	0,000	0,000	0,000
	205	0,000	0,000	0,000	0,100	0,000	0,000	0,500	0,000
	207	0,000	0,000	0,000	0,100	0,000	0,000	0,000	0,000
	209	0,000	0,000	0,000	0,100	0,000	0,000	0,000	0,000
	214	0,000	0,000	0,000	0,100	0,000	0,000	0,000	0,000
	219	0,900	0,000	0,250	0,000	0,500	0,500	0,500	0,000
	223	0,100	1,000	0,375	0,000	0,167	0,500	0,000	1,000
ZAG46	180	0,200	0,167	0,000	0,000	0,167	0,000	1,000	0,400
	181	0,000	0,000	0,000	0,500	0,000	0,000	0,000	0,300
	188	0,300	0,000	0,000	0,000	0,333	0,000	0,000	0,000
	190	0,500	0,167	0,000	0,000	0,000	0,000	0,000	0,000
	191	0,000	0,000	0,000	0,250	0,000	0,500	0,000	0,100
	192	0,000	0,000	0,000	0,000	0,167	0,000	0,000	0,000
	193	0,000	0,167	0,000	0,000	0,167	0,000	0,000	0,000
	194	0,000	0,167	0,000	0,000	0,167	0,000	0,000	0,000
	195	0,000	0,333	0,000	0,000	0,000	0,500	0,000	0,200
	200	0,000	0,000	0,500	0,000	0,000	0,000	0,000	0,000
	207	0,000	0,000	0,500	0,000	0,000	0,000	0,000	0,000
	215	0,000	0,000	0,000	0,250	0,000	0,000	0,000	0,000
ZAG15	103	0,100	0,000	0,000	0,000	0,167	0,000	0,000	0,000
	104	0,100	0,167	0,000	0,000	0,000	0,000	0,500	0,100
	108	0,000	0,000	0,750	0,000	0,000	0,000	0,000	0,000
	109	0,000	0,000	0,125	0,000	0,000	0,000	0,000	0,000
	110	0,000	0,000	0,125	0,000	0,000	0,000	0,000	0,000
	113	0,000	0,000	0,000	0,100	0,000	0,000	0,000	0,000
	114	0,000	0,000	0,000	0,300	0,000	0,000	0,000	0,000
	120	0,200	0,000	0,000	0,000	0,167	0,000	0,500	0,000
	121	0,100	0,000	0,000	0,000	0,167	0,000	0,000	0,000
	123	0,500	0,333	0,000	0,100	0,500	0,000	0,000	0,700
	124	0,000	0,167	0,000	0,200	0,000	0,000	0,000	0,200
	125	0,000	0,333	0,000	0,100	0,000	0,000	0,000	0,000
	137	0,000	0,000	0,000	0,100	0,000	0,000	0,000	0,000
	146	0,000	0,000	0,000	0,100	0,000	0,000	0,000	0,000

Locus	Allele	QSU	QAF	QCA	QIL	QH1	QH2	QH3	QH4
ZAG112	84	0,000	0,000	0,000	0,750	0,000	0,000	0,000	0,000
	85	0,000	0,000	0,000	0,000	0,000	0,000	0,000	0,125
	87	0,100	0,833	0,750	0,000	0,500	0,500	0,000	0,750
	88	0,200	0,000	0,125	0,000	0,000	0,000	0,000	0,000
	89	0,000	0,000	0,000	0,250	0,000	0,000	0,000	0,125
	92	0,000	0,000	0,125	0,000	0,000	0,000	0,000	0,000
	97	0,000	0,167	0,000	0,000	0,000	0,000	0,000	0,000
	99	0,200	0,000	0,000	0,000	0,000	0,000	0,000	0,000
	101	0,100	0,000	0,000	0,000	0,250	0,000	0,000	0,000
	103	0,400	0,000	0,000	0,000	0,250	0,500	1,000	0,000
ZAG9	218	0,000	0,000	0,000	0,100	0,000	0,000	0,000	0,000
	224	1,000	0,833	0,000	0,000	0,833	0,500	0,500	1,000
	230	0,000	0,000	0,000	0,000	0,000	0,500	0,000	0,000
	233	0,000	0,000	0,000	0,100	0,000	0,000	0,000	0,000
	234	0,000	0,000	0,000	0,000	0,167	0,000	0,000	0,000
	241	0,000	0,167	0,000	0,000	0,000	0,000	0,000	0,000
	243	0,000	0,000	0,000	0,400	0,000	0,000	0,000	0,000
	247	0,000	0,000	0,000	0,100	0,000	0,000	0,000	0,000
	248	0,000	0,000	0,000	0,100	0,000	0,000	0,500	0,000
	249	0,000	0,000	1,000	0,100	0,000	0,000	0,000	0,000
	255	0,000	0,000	0,000	0,100	0,000	0,000	0,000	0,000

References

- Morán-López T., Robledo-Arnuncio J. J., Díaz M., Morales J. M., Lázaro-Nogal A., Lorenzo Z., Valladares F. 2016. Determinants of functional connectivity of holm oak woodlands: Fragment size and mouse foraging behavior, Forest Ecology and Management, 368,111-122 doi.org/10.1016/j.foreco.2016.03.010
- Holland, M. M., Parson, W. 2011. GeneMarker HID: A Reliable Software Tool for the Analysis of Forensic STR Data. Journal of Forensic Sciences. 56(1): 29-35. doi.org/10.1111/j.1556-4029.2010.01565.x
- Ortego, J., Bonal, R., Muñoz, A., Aparicio, J.M. 2014. Extensive pollen immigration and no evidence of disrupted mating patterns or reproductionn a highly fragmented holm oak stand. J. Plant Ecology 7 (4), 384-395. doi.org/10.1093/jpe/rtt049